【技术与方法】

文章编号: 1001-5914(2006) 06-0552-04

酸性氧化电位水中羟自由基的顺磁共振测定法

杨敏,龚泰石,柯跃华,王贺新

摘要:目的 测定酸性氧化电位水中是否存在羟自由基 $(\cdot OH)$ 。方法 以 5,5-二甲基-吡咯啉-1-氧化物(DMPO) 为羟基捕捉剂。电解产生的酸性氧化电位水分别放置不同时间(0 < 120 min) 后采用电子顺磁共振(EPR) 方法测定 $\cdot OH$ 的存在。结果 酸性氧化电位水放置 0 和 30 min 时 EPR 谱图信号是 7 条特征谱线组成的 DMPOX 的信号,60 min 后出现由 4 条谱线组成的 DMPO-OH 的 EPR 信号,120 min 则基本检测不到 EPR 信号。结论 酸性氧化电位水中存在 $\cdot OH$,初期可能由于 HCIO和 Cl_2 等的干扰而无法检测到,60 min 后 DMPO 捕捉到 $\cdot OH$,推测电解过程结束后,其自身含有的一些活性物质可能相互作用产生 $\cdot OH$ 。

关键词:水;消毒;磁共振波谱学;酸性氧化电位水

中图分类号: O657.2

文献标识码: A

Determination of OH Radicals in Acid Oxidation-Potential Water by Electron Paramagnetic Resonance YANG Min, GONG Tai-shi, KE Yue-hua, et al. Institute of Health and Environmental Medicine, Academy of Military Medical Sciences, Tianjin 300050, China

Abstract: Objective To investigate whether · OH radical species present in the acid oxidation-potential water (AOW). Methods Electron paramagnetic resonance spectroscopy (EPR) coupled with the spin trapping technique was used for determination of · OH radicals. Results A seven-line spectrum characteristic of 5, 5-dimethyl-2-pyrrolidone-N-oxyl (DMPOX) was formed at first, at 60 min the spin adducted DMPO-OH with four-line spectrum characteristic and at 120 min, no spectrum was observed. Conclusion · OH can be detected in AOW at 60 min and it may come from the interaction of active substance in the AOW.

Key words: Water; Disinfection; Magnetic resonance spectroscopy; Acid oxidation-potential water

目前,通过离子隔膜电解槽电解低浓度 NaCl 溶 液产生的酸性氧化电位水(AOW)作为一种新型环保 型消毒剂,其安全、简便、高效、快速且无残留毒性的 特点,使其已经被广泛运用于食品加工、医疗卫生和 环保产业等很多领域。对于酸性氧化电位水的消毒机 制主要有以下几种观点: 一是电解产生氯消毒剂的作 用[1-5], 二是电解产生 H₂O₂、O₃ 等强氧化性物质的作 用[6.7], 这 2 种观点较为普遍, 并为许多研究者所接受; 也有人认为其中的一些高活性短寿命的:OH 等自由 基发挥了重要作用[7-9],但此观点尚待证实。本研究采 用电子顺磁共振(EPR)波谱仪技术,选用5,5-二甲基-吡咯啉-1-氧化物(DMPO)为自旋捕捉剂,测定酸性氧 化电位水放置不同时间后的·OH的 EPR 谱图: 向溶液 中加入·OH的清除剂——甘露醇,考察其对 EPR 信 号强度的影响,进一步证实酸性氧化电位水中·OH的 存在。

1 材料与方法

1.1 仪器与试剂

ESP300 顺磁共振波谱仪(德国 Bruker 公司), UV-8500 型紫外可见分光光度计 (上海天美科学仪器公司), 奥立龙 868 型酸度计(美国奥立龙公司), ORP测

定仪(美国大普公司)。 DMPO(Sigma 公司), 甘露醇 (Sigma 公司), 四甲基联苯胺(Sigma 公司), 30% H_2O_2 , Fe Cl_2 , Na Cl_1 , 蒸馏水, 以上试剂均为分析纯。

1.2 试验装置与方法

1.2.1 酸性氧化电位水的制备 在微电解水处理器 (本研究室自行研制)通入 0.05% NaCl 溶液, 经过电解制备酸性氧化电位水, 装瓶待用, 其制备工艺见图 1。 对其主要理化指标进行分析测定。pH 值和氧化还原电位值(ORP)分别用奥立龙 pH 计和大普 ORP 仪测定,pH 值为 2.47, ORP 值为 1 135 mV; 采用碘量法[10]测定有效氯为 40.5 mg/L; 活性氧(主要包括 H_2O_2 , O_3 等)的测定方法为, 利用其与四甲基联苯胺的特异反应, 采用紫外分光光度法测定 I_3 0, 测得其浓度为 12.2 mg/L。

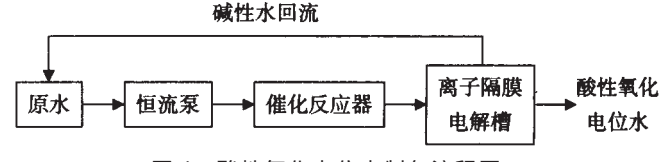


图 1 酸性氧化电位水制备流程图

1.2.2 EPR 实验测定样品的制备 配制 0.05% NaCl 溶液和 pH 值为 2.5 的 HCl 溶液分别作为空白和酸性对照; 芬顿(Fenton) 反应产生·OH 作为实验对照, Fe²⁺和 H₂O₂浓度分别为 0.25 和 0.05 mmol /L, 加入 DMPO, 使其最终浓度为 125 mmol /L; 电解产生的酸性氧化电位水分别放置 0 (电解结束初期)、30、60、90、120 min

作者单位: 军事医学科学院卫生学环境医学研究所(天津 300050)

作者简介: 杨敏(1981-), 女, 硕士研究生, 从事水处理研究。

通讯作者: 龚泰石, Tel: (022) 84655498

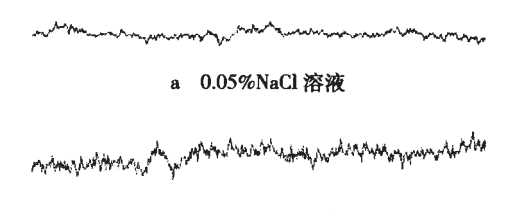
后, 向其中分别加入 DMPO, 其在溶液中的浓度为 125 mmol /L; 向含有 125 mmol /L DMPO 的且分别放置 0、 30、60、90、120 min 的酸性氧化电位水中添加甘露醇, 使其在溶液中的浓度为 50 mmol /L [7.8]。

1.2.3 EPR 测定·OH 实验 将上述样品立即封入石 英玻璃管中进行 EPR 谱图的测定^[8.9]。EPR 各项参数 如下,测试条件为 X 波段,中心场为 3 480 G(地心引力单位),微波功率为 12.8 mW,调制频率为 100 kHz,微波频率为 9.77 GHz,所有谱图均为 7 次扫描信号的叠加图。

2 结果与讨论

2.1 0.05%NaCl 溶液和 HCl 溶液(pH=2.5)的 EPR 谱图 DMPO 是一种运用最广泛的羟基捕捉剂,·OH 的 寿命很短(通常以 µs 计),因而极难被捕捉到,但是 DMPO 能够与·OH 形成较为稳定的 DMPO-OH, 其寿命可达 5~10 min,因此可以采用 EPR 来测定。

本实验中,采用 2 组对照,一组为未电解的 0.05% NaCl 溶液,另一组为 pH=2.5 的 HCl 溶液,测定 2 种溶液的 EPR 谱图, 主要是考察这 2 种溶液对 DMPO-OH 信号是否存在影响。结果如图 2 所示,两者均无明显的 EPR 谱图信号,说明其对后续 EPR 谱图的测定不会产生干扰。



b pH=2.5 的 HCl 溶液 图 2 0.05%NaCl 溶液和 HCl 溶液的 EPR 谱图

2.2 测定 Fenton 反应中产生·OH 的 EPR 谱图 Fenton 反应可以产生大量羟基, 见反应式(1): Fe²⁺+H₂O₂ Fe²⁺+OH·+·OH (1)

如图 3a 所示, EPR 谱图为 4 条典型谱线, 各条谱线所围成的峰面积之比为 1221, 且氮原子、氢原子的自旋裂分常数 (A_N, A_H) 均为 14.9 G, 此谱图即为 DMPO-OH 的典型谱图 [8.9]。由图 3b 可以看出, 加入甘露醇的 Fenton 试剂的 EPR 谱图几乎没有 DMPO-OH 信号, 说明作为·OH 清除剂的甘露醇加入后对 EPR 信号产生影响, 进一步证实了 Fenton 体系中·OH 的存在。所以此图一方面证明 Fenton 反应确实产生了大量的 羟自由基, 另外也为后续 EPR 谱图的测定提供了参照。

2.3 酸性氧化电位水的 EPR 谱图

在酸性氧化电位水中加入 DMPO, 测定·OH 的 EPR 谱图, 以考察其中是否含有·OH, 分别放置 0、30、60、90、120 min 后测定, 得到图 4 的谱图。

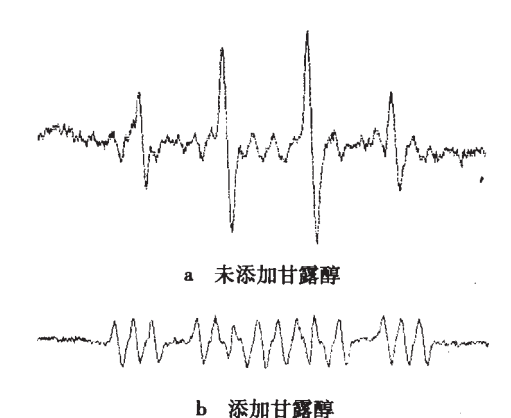


图 3 Fenton 反应产生的·OH 的 EPR 谱图

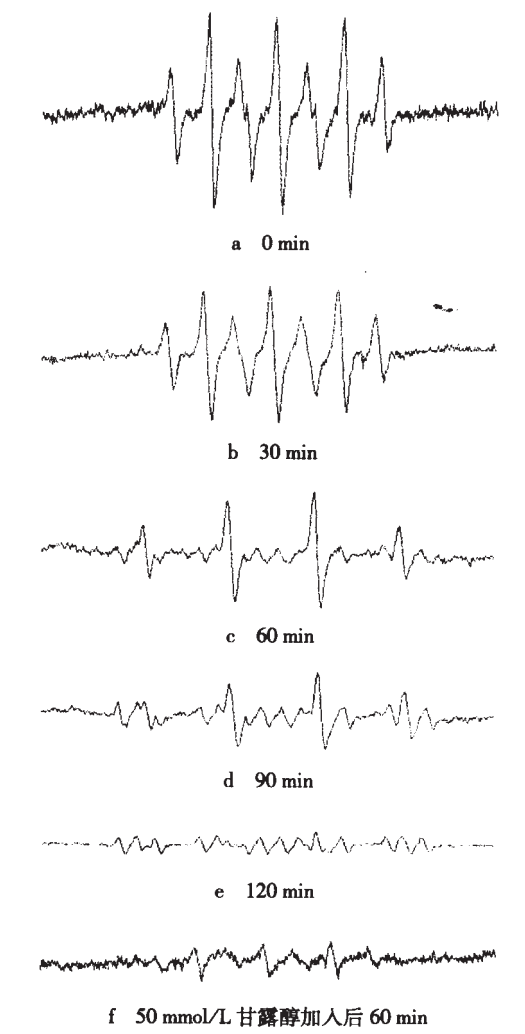


图 4 酸性氧化电位水中加入 DMPO 后 0~120 min 的 EPR 谱图

由图 4a 可以看出,电解过程结束初期(0 min)的 EPR 谱图由 7 条典型谱线组成,各条谱线所围成的峰面积之比为 1212121,且氮原子、氢原子的自旋裂分常数(A_N , A_H)分别为 4.0 G 和 7.25 G, 此为典型的由 HCIO和 Cl_2 等有效氯与 DMPO 反应生成的 DMPOX的 EPR 信号谱图[11,12]。可能是由于 HCIO和 Cl_2 等有效氯的标准电极电位较低,因此电解时有效氯优先大量生成,并立即被 DMPO 捕捉到生成 DMPOX,结构式如下:

图 4 表明电解过程结束后,酸性氧化电位水中的 ·OH 的 EPR 信号随时间的衰减情况。随着酸性氧化电 位水放置时间的延长, DMPOX 的 7 条典型谱线逐渐 变弱而转变为 4 条典型谱线, 各条谱线所围成的峰面 积之比为 1221, 且氮原子、氢原子的自旋裂分常数 A_N, A_H 分别为 14.92 G, 此为典型的 · OH 与 DMPO 反应生 成的 DMPO-OH 的 EPR 信号谱图[12,13]。具体表现为放 置 30 min 后的酸性氧化电位水的 DMPOX 信号比电 解过程结束后立即进行(0 min) EPR 检测的样品信号 减弱了 1/4,60 min 时的样品出现了较强的 DMPO-OH 信号、但到 90 min 时其信号减弱为 60 min 时的 1/2. 到 120 min 时 DMPO-OH 的 EPR 信号几乎完全消失。 总之在这 2h内, DMPOX 的信号呈缓慢下降趋势, 而 DMPO-OH 的信号则在 60 min 时出现, 而后逐渐减弱。 通过此 EPR 实验, DMPO 捕捉到了·OH, 由此说明酸性 氧化电位水中确有·OH产生。刁惠芳等四也测出了·OH 的 EPR 谱图, 但是没有发现 DMPOX 的特征信号, 通 过仔细分析他们的 EPR 谱图, 发现谱线较为混乱,并 非 DMPO-OH 的典型谱图, 可能因此而漏掉了 DMPOX 的 EPR 信号。本实验结论与 Silvia 等[14]的观点也存在 较大差异,可能是由于他们实验中所采用的 NaCl 溶液 浓度过高(13.6%)所致。

电解过程能够产生·OH,但是·OH 的寿命极短 (通常在 μ s 级),那么外加电场结束后的酸性氧化水中何以存在·OH?笔者对·OH 的产生过程有如下的推测,见反应式(2) \sim (11)。

电解过程中,通过反应式(2)~(6)可以产生 H_2O_2 和 O_3 ,特别是在阴极, O_2 很容易被还原而大量生成 H_2O_2 ,如反应式(6)所示,本实验制备酸性氧化电位水

M⁽ⁿ⁻¹⁾⁺+H₂O₂ Mⁿ⁺+OH⁻+·OH(M 是金属离子)

时有一个碱性水回流装置,这样更增加了酸性氧化电位水中 H_2O_2 的产量; 当外加电流消失后, H_2O_2 或 O_3 在外界条件(温度、pH 值和光照等) 的影响或催化下, 推测由反应式(7) < (10) 不断产生 \cdot OH; 或者 H_2O_2 也可能与电极板涂层溶于水中的微量过渡金属元素 Fe, Ti 等发生 Fenton 反应产生 \cdot OH, 如反应式(11) 所示。

Saran 等^图提出, 当·OH 与 CI·共存时, CI·能够参与 或催化以下的一系列自由基反应, 如反应式 (12) ~ (14)。·OH 被转化为 HOCI·存在, 使得·OH 的寿命得 以延长 1~2 个数量级, 这样在消毒过程中, 细菌与自 由基接触的可能性增加, 杀菌率得以大幅提高。

$$Cl^{-}+\cdot OH \quad HOCl^{-}$$
 (12)

$$HOCI^-+H^+$$
 $CI \cdot +H_2O$ (13)

$$Cl^{-}+Cl \cdot Cl_{2}^{-} \cdot$$
 (14)

3 结论

由 EPR 实验可知, 电解过程结束初期的酸性氧化电位水主要检测到 HCIO 和 Cl₂等,放置 1 h 后,DMPO 捕捉到·OH。因而推测, 电解制备的酸性氧化电位水在初期其中很可能也含有·OH, 但是由于 HCIO 和 Cl₂等有效氯的干扰而无法检测到; 而 EPR 测定放置 1 h 后的酸性氧化电位水中存在·OH,推断可能是在外加电场结束后,其自身含有的活性物质,比如 H_2O_2 HCIO、CI·等相互反应从而产生·OH。但是, 这里始终存有一个疑问, 外加电场结束初期, DMPOX 的信号何以会衰减?这个问题还有待于进一步实验研究。即使这样, 酸性氧化电位水中存在·OH 是肯定的, 而且这也间接说明了·OH 在酸性氧化电位水的高效灭菌过程中的重要作用。

参考文献:

- [1] Patemaraxis G, Fountoukidis E. Disinfection of water by electrochemical treatment(J). Water Res, 1990, 24:1491-1496.
- [2] Karft A, Stanelmann M, Blaschke M, et al. Hypochlorite production from very dilute chlorine solution(J). Supplied Electrochemistry, 1999, 29:861-868.
- [3] Li XY, Ding F, Lo PSY, et al. Electrochemical disinfection of saline effluent(J). Environmental Engineering, 2002, 128:697-704.
- [4] Bergmann H, Koparal S. The formation of chlorine dioxide in the electrochemical treatment of drinking water for disinfection (J). Electrochemical Acta, 2005, 50:5218-5228.
- [5] Drogul P, Elmaleh S, Rumeau M, et al. Hydrogen peroxide production by water electrolysis application to disinfection (J). Supplied Electrochemistry, 2001, 31:877-882.
- [6] Guo DM, Panakezhum D, Mark J. Oxidation of spin trap 5,5-dimethyl-1pyrroline-1-oxide in an electron paramagnetic resonance study of the reaction of methemoglobin with hydrogen peroxide(J). Free Radic Biol Med, 1994, 16:493-500.
- [7] 刁惠芳,白玮,李晓岩,等. 电化学消毒中羟基自由基的测定(J). 给水排水, 2004, 30(9):59-62.
- [8] Saran M, Beck I, Fellerhoff B. Phagocytic killing of microorganisms by radical processes:consequences of the reaction of hydroxyl radicals with chloride yielding chlorine atoms(J). Free Radic Biol Med, 1999,26: 482-490.
- [9] Hase H, Harada K. ESR detection of OH and H radicals generated by

(11)

【技术与方法】

文章编号: 1001-5914(2006) 06-0555-02

作业场所空气中锡的微波消解-氢化物发生 原子荧光光度测定法

赵飞蓉,彭谦,陈忆文,陈惠珠

摘要:目的 建立作业场所空气中锡的微波消解-原子荧光光度测定法。方法 将采样完毕的微孔滤膜按微波消解程序处理后,将消解液进一步处理,以原子荧光光度法测定锡。结果 方法的线性范围为 0.3~100.0 µg/L,检出限为 0.3 µg/L,最低检出浓度为 0.000 1 mg/m³(以采集 75 L 空气样品计),测定相对标准偏差为 2.7% ~3.5%,样品加标回收率为 96.5% ~104.7%。结论 该方法具有快速准确、灵敏度高、精密度好等优点,可用于作业场所空气中锡的测定。

关键词:分光光度法;空气污染;锡;原子荧光光度法;微波消解中图分类号: O657.3 文献标识码: A

Determination of Tin in Air by Microwave Digestion-HG-AFS ZHAO Fei-rong, PENG Qian, CHEN Yi-wen, et al. Jiading District Center for Disease Control and Prevention, Shanghai 201800, China

Abstract: Objective To develop a method for determination of tin in the air of workplace by microwave digestion-HG-AFS. Methods The air samples were collected and the concentration of tin was determined by microwave digestion-HG-AFS and the parameters of atomic fluorescence spectrometry were studied. Results In the optimum condition, the detection limit of tin was 0.3 μ g /L, the lowest detected concentration of tin in the samples was 0.000 1 μ g/m³ (based on 75 L air sample), the RSD was 2.7%-3.5%, the rate of recovery was in the range of 96.5%- 104.7%. Conclusion The method is rapid, convenient, accurate, sensitive and suitable for determination of tin in the air of workplace.

Key words: Spectrophotometry; Air pollution; Tin; Atomic fluorescence spectrometry; Microwave digestion

在车间作业时若因防护不当、设备故障等而致作业人员大量接触过量锡及其化合物,可引起锡中毒。因此监测车间空气中锡的浓度非常有必要。目前,国家职业卫生标准中测定总锡的方法是火焰原子吸收分光光度法、栎精分光光度法、双硫腙分光光度法。这些方法灵敏度相对较低,操作步骤也较为繁琐巾。而氢化物发生原子荧光光度法(AFS)具有灵敏度高,干扰少,线性范围宽等特点,应用于生物材料及水样中锡的测定方法的文献已有较多报道[23]。笔者探讨了含锡的作业场所空气样品前处理的微波消解法,联用氢化物发生原子荧光光度法进行测定。

基金项目: 上海市嘉定区科委科研基金资助项目(2004JKK023); 上海市 嘉定区卫生局科研基金资助项目(KYXM-2004-11-3)

作者单位: 上海市嘉定区疾病预防控制中心理化检验科(上海 201800)

作者简介: 赵飞蓉(1972-), 女, 主管技师, 从事仪器分析。

通讯作者: 彭谦, E-mail: peng59991569@163.com

- 1 材料与方法
- 1.1 仪器与试剂

AFS-230E 型双道原子荧光光度计, 附断续流动全自动进样器 (北京海光仪器公司); Mars5 型微波消解系统, 附 XP-1500 Plus 密闭消解罐(美国 CEM 公司); AS-2 型锡高性能空心阴极灯 (北京有色金属研究总院); BFC-35E 型双粉头粉尘采样仪 (江苏建湖电子仪器厂); 屏蔽气及载气均为高纯氩气。盐酸(优级纯)、硝酸(优级纯)、过氧化氢(分析纯); 本法所用试剂皆用超纯水(美国 Millipore 公司)配制, 实验所用玻璃器皿均用 20%硝酸浸泡过夜处理; 100 mg/L 锡标准储备液[GBW(E)080546, 国家标准物质研究中心]; 1 000 μg/L 锡标准使用液; 其余试剂为优级纯或分析纯。5 g/L 氢氧化钠溶液, 20 g/L 硼氢化钠溶液 (称取 2 g 硼氢化钠溶解于 5 g/L 氢氧化钠溶液中,并稀释至 100 ml), 100 g/L 硫脲-抗坏血酸溶液 (称取硫脲及抗坏血酸各

- contact glow discharge in aqueous solutions(J). Vica Origino, 2001,29: 61-62.
- [10] 魏复盛, 齐文启, 毕彤, 等. 水和废水检测分析手册[M]. 第 4 版. 北京: 中国环境科学出版社, 2002: 170-176.
- [11] Ozawa T, Miuna Y, Ueda J. Oxidation of spin-traps by chlorine dioxide radicals in aqueous solutions: first ESR evidence of formation of new nitroxide radicals (J). Free Radical Biol Med, 1996, 20:837-841.
- [12] Carl B, Rathnyake B, Oscar H. Electron spin resonance studies of the reaction of hypochlorite with 5,5-dimethyl-1-pyrroline-N-oxide(J). Free Radical Biol Med. 1990. 8:231-239.
- [13] SIvia DS, James S, Daeschel MA. Investigation of the presence of OH radicals in electrolyzed NaCl solution by electron spin resonance spectroscopy(J). Agricultural and Food Chemistry, 2005, 53: 4901-4905
- [14] Silvia DS, Daeschel MA. 5,5-Dimethyl-2-pyrrolidone-N-oxyl formation in electron spin resonance studies of electrolyzed NaCl solution using 5, 5-Dimethyl-1- pyrroline-N-oxide as a spin trapping agent (J). Agricultural and Food Chemistry, 2005, 53: 4906- 4910.

(收稿日期: 2006-05-20)

(本文编辑: 董子珍)